



"مقاله پژوهشی"

ستتر نانوکامپوزیت ZnO/SnO_2 بارگذاری شده با نقره به روش تلچیح مایع و بررسی فعالیت نوری آن در حذف یک آلاینده محیط زیست تحت تابش نور مرئی

لیلا آیرملو*

دانش آموخته دکتری شیمی کاربردی، دانشکده شیمی، واحد اراک، دانشگاه آزاد اسلامی، اراک، ایران

*نویسنده مسئول مکاتبات: leilaayramlo@yahoo.com

(دریافت مقاله: ۱۴۰۳/۰۵/۲۲، پذیرش نهایی: ۱۴۰۳/۰۶/۰۶)

چکیده

در این تحقیق ابتدا نانوکامپوزیت ZnO/SnO_2 به روش هم رسوی ستر شده، سپس نقره با درصدهای مختلف به روش تلچیح مایع بر روی نانوکامپوزیت بارگذاری شده است. فعالیت فوتوكاتالیزوری مواد ستر شده در حذف یک آلاینده رنگرا (اسید قرمز ۲۷) تحت نور مرئی مورد ارزیابی قرار گرفته است. مشخصه‌یابی مواد با استفاده از روش‌های XRD و SEM-EDX انجام گرفته است. با استفاده از آنالیزهای مذکور اندازه ذرات، فازهای تشکیل دهنده و همچنین مورفولوژی ذرات بدست آمده است. نتایج فعالیت فوتوكاتالیزوری نشان می‌دهد که نانوکامپوزیت Ag-ZnO/SnO₂ فعالیت بیشتری نسبت به نانوکامپوزیت ZnO/SnO₂ در حذف اسید قرمز ۲۷ (AR27) را دارد. بیشترین فعالیت فوتوكاتالیزوری مربوط به نانوکامپوزیت Ag-ZnO/SnO₂ با ۵٪ وزنی نقره و دمای کلسیناسیون ۵۰۰°C می‌باشد بطوریکه درصد حذف AR27 تحت تابش نور مرئی به مدت ۵۰ دقیقه ۹۵٪ می‌باشد.

واژه‌های کلیدی: کلسیناسیون، ZnO/SnO_2 ، هم رسوی، تلچیح مایع، فعالیت فوتوكاتالیزوری، اسید قرمز ۲۷

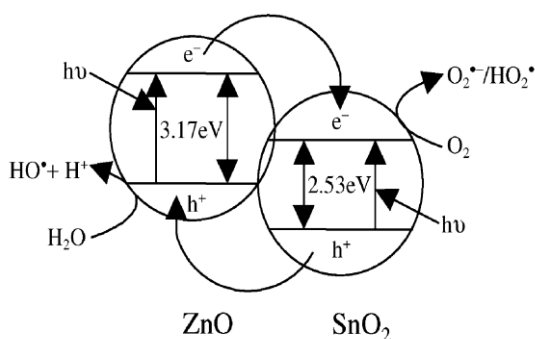
مقدمه

استفاده از ذرات اکسید روی در ابعاد نانو در فرآیند UV/ZnO سرعت آن را به طور قابل ملاحظه‌ای افزایش می‌دهد. علم نانو و تولید در مقیاس نانو سبب می‌شود تا بتوانیم پا را فراتر از محدودیت‌های اندازه‌ای که به طور طبیعی موجود است، بگذاریم و درست روی واحدهای ساختاری مواد کار کنیم، جایی که خاصیت مواد مشخص می‌شود و با تغییر در آن واحدها می‌توان تغییرات خواص را ایجاد کرد. با ظهور فناوری نانو، سنتز و استفاده از نانوذرات از مباحث عمده مطرح شده در مجتمع علمی است که نوید بخش پیشرفت‌های سریع در تمامی زمینه‌های علمی، صنعتی و حتی نظامی است. تحقیقات گسترده در حوزه نانوتکنولوژی در شاخه‌های گوناگونی در حال انجام است که یکی از آن‌ها سنتز نانوکاتالیزورها می‌باشد. در همین راستا تلاش‌های زیادی برای سنتز و به کارگیری انواع نیمه هادی‌ها به ویژه ZnO و TiO_2 در ابعاد نانو و کاربرد آن‌ها در فرآیندهای اکسایش پیشرفت‌هه صورت گرفته است (۳ و ۴). نانوکاتالیزورها به دلیل دارا بودن مساحت سطح زیاد و اندازه مناسب و خصوصیات نوری، الکتریکی و کاتالیزوری وابسته به ساختارشان پتانسیل زیادی جهت مطرح شدن به عنوان کاتالیزورهای تصفیه آب و فاضلاب دارند (۵). این نانوذرات می‌توانند طیف گسترده‌ای از آلاینده‌های آلی و آنیون‌های معدنی نظیر نیترات‌ها را در محیط‌های آبی تجزیه نموده و به محصولات با سمیت کم‌تر تبدیل نمایند با به طور کامل معدنی نمایند. فوتوكاتالیزور اکسید روی به خاطر اینکه نسبتاً ارزان، غیرسمی و با حفره‌هایی با قدرت ترکیب شوندگی قوی با اکسیژن است یک

تولید فاضلاب‌های صنعتی و نفوذ آن‌ها به منابع آب و از طرفی محدودیت در منابع آب قابل استفاده در صنعت، کشاورزی و شرب، جوامع بشری را به شدت به استفاده بینه از این منابع و نیز استفاده مجدد از آب‌های آلوده واداشته است. روش‌های تصفیه بسیاری برای تصفیه آب و فاضلاب مورد استفاده قرار گرفته است که هر یک مزایا و معایب خاص خود را دارند. از مهم‌ترین مشکلات روش‌های متداول تصفیه آب، عدم امکان تصفیه آلاینده در غلظت‌های کم و همچنین خواص سمی و مقاوم برخی از آلاینده‌های است که به سادگی تخریب نشده و در مقابل عوامل بیولوژیک از خود مقاومت نشان می‌دهند (۱ و ۲).

به منظور حل مشکلات فوق، در سال‌های اخیر تحقیقات زیادی بر روی فرآیندهای اکسایش پیشرفت‌هه صورت گرفته است. به طور کلی فرآیندهای اکسایش پیشرفت‌ه در برگیرنده کلیه فرآیندهایی هستند که در آن‌ها با روش‌های مختلف رادیکال‌های فعال هیدروکسیل تولید می‌شوند. از آنجایی که رادیکال‌های هیدروکسیل قدرت اکسیدکنندگی بسیار بالایی دارند، باعث تجزیه کامل اکثر آلاینده‌ها می‌گردند. یکی از فرآیندهای اکسایش پیشرفت‌ه که در سال‌های اخیر به منظور حذف انواع آلاینده‌ها از آب‌های آلوده، مطالعه و پیشنهاد شده است فرآیندهای اکسایش فوتوكاتالیزوری می‌باشند. فرآیند UV/ZnO یکی از فرآیندهای اکسایش فوتوكاتالیزوری می‌باشد. در این فرآیند اکسید روی به عنوان فوتوكاتالیزور مورد استفاده قرار می‌گیرد.

CdS - $CdS-ZnO$, TiO_2-CdS , TiO_2-WO_3 , SnO_2 و $TiO_2-Fe_2O_3$, TiO_2-ZrO_2 , $ZnO-ZnS$, AgI گرفته است (۶-۹). مطالعات نشان داده است که کوپل نانوذرات ZnO و SnO_2 نیز بازده فرآیند فوتوكاتالیزوری را افزایش می‌دهد. در واقع با کوپل کردن این دو نیمرسانا با سطوح انرژی مختلف می‌توان جداسازی بار را افزایش داد و از عمل ترکیب مجدد الکترون-حفره جلوگیری کرد. در شکل (۱) مکانیسم جدایی بار و واکنش‌های فوتوكاتالیزوری بر روی نانوکامپوزیت ZnO/SnO_2 نشان داده شده است.

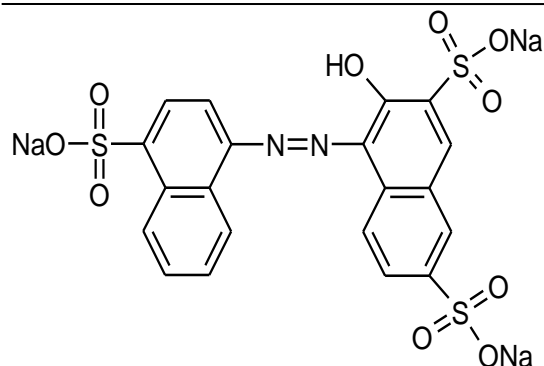


شکل (۱): نحوه انتقال بار در نانوکامپوزیت ZnO/SnO_2 (۱۷)

روش دیگر برای افزایش فعالیت نوری، دوپینگ و یا بارگذاری فلزات بر روی اکسیدهای فلزی می‌باشد. مطالعات بسیاری نشان داده‌اند که حضور فلزات واسطه مانند آهن، نقره و پلاتین عمل انتقال بار و عملکرد فوتوشیمیایی اکسیدهای فلزی را بهبود می‌بخشدند (۱۷). نانوذرات نقره دوپینگ شده بر روی ZnO نقش سودمندی را دارند مطالعات حاکی از اینست که نانوذرات نقره هم فعالیت فوتوكاتالیزوری ZnO را افزایش می‌دهند و هم پایداری نوری آن را

فوتوکاتالیزور ایده‌آل به شمار می‌آید. اثبات شده است که اکسید روی در اکسایش فوتوكاتالیزوری مختلف ترکیبات آلی بسیار فعال است و به طور کامل آلانده‌های محیط زیست را معدنی‌سازی و تخریب می‌کند (۶).

اساس یک فرآیند فوتوكاتالیزوری تشکیل جفت الکترون-حفره است که می‌تواند واکنش‌های اکسیداسیون و احیاء را بر روی اجزا جذب سطحی شده در سطح فوتوكاتالیزور انجام دهد. ترکیب مجدد حفره‌ها و الکترون‌های تولید شده ناشی از تابش نور، مهم‌ترین عامل محدود کننده‌ای است که کارآیی فرآیند فوتوكاتالیزوری را کاهش و مانع از کاربرد عملی این تکنیک در تجزیه آلانده‌ها می‌شود. بنابراین در فوتوكاتالیزورهای ناهمگن نیاز به افزایش راندمان جداسازی بار در فوتوكاتالیزور وجود دارد (۷). به نظر می‌رسد اساس تکنیک کوپل اکسیدهای نیمرسانای متفاوت، جداسازی هر چه بیش‌تر الکترون - حفره و متعاقب آن فعالیت فوتوكاتالیزوری زیاد باشد. افزایش عمر الکترون-حفره در اکسیدهای کوپل شده در نتیجه انتقال الکترون و حفره مابین دو نیمرسانا است به این صورت که الکترون از نیمرسانای فعال نوری به نیمرسانای غیرفعال نوری و حفره‌ها از نیمرسانای غیرفعال نوری به نیمرسانای فعال نوری انتقال می‌یابند. در نتیجه فوتوكاتالیزورهای نیمرسانای کوپل شده با افزایش جدایی بار و همچنین محدوده پاسخ نوری بیش‌تر، فعالیت فوتوكاتالیزوری بیش‌تری را نشان می‌دهند (۸). تا کنون مطالعات زیادی در ارتباط با فعالیت فوتوكاتالیزوری نیمرساناهای کوپل شده نظیر TiO_2



شکل (۲): ساختار مولکولی AR27

- روش تهیه نانوکامپوزیت

نانوکامپوزیت ترکیبی ZnO/SnO_2 به روش هم رسوبی و با استفاده از $NaOH$ به عنوان عامل رسوب دهنده سترنگرددید. در این روش ابتدا سولفات روی ۷ آبه ($ZnSO_4 \cdot 7H_2O$) و کلرید قلع ۵ آبه ($SnCl_4 \cdot 5H_2O$) به ترتیب به عنوان پیش ماده روی و پیش ماده قلع با نسبت مولی ۲ به ۱ را در بشرهای 100 mL ریخته و در کمترین مقدار آب مقطرا حل شد، سپس هر دو محلول به یک بشر 250 mL منتقل شده و در حالی که ظرف مورد نظر توسط همزن مغناطیسی هم زده می شود، سدیم هیدروکسید ۴ مولار، قطره قطره به آن اضافه گردید، تا بتدریج ذرات ریز رسوب سفید رنگ پدیدار شوند. اضافه کردن سود را تا تشکیل رسوب سفید رنگ و رسیدن pH محلول به ۷ ادامه داده و سپس ماده حاصله به مدت یک ساعت بر روی همزن هم زده می شود. محلول حاصله توسط کاغذ صافی صاف شده و برای حذف یون های کلراید و سولفات، رسوب توسط آب مقطرا چندین بار شستشو داده شد. رسوب حاصله را در آون با دمای $80^\circ C$ به مدت ۱۵ ساعت قرار داده و

بهبود می بخشنده (۱۸). فلز نقره برخی خصوصیات منحصر به فرد و بی همتای دارد. مشخص شده است که نقره تأثیر سودمند و مفیدی در فعالیت نوری فوتوكاتالیزورهای نیمرسانای نانوکریستالی دارد (۱۹). همچنین به علت تغییر خواص سطح نیمرسانا، نظیر افزایش فضاهای خالی اکسیژن، نقص های کریستالی و مساحت سطح ویژه، فعالیت فوتوكاتالیزوری را افزایش می دهد. یون های نقره به دلیل تأثیرات بدیع و نو بر روی بهبود فعالیت نوری فوتوكاتالیزورها و همچنین خواص ضد باکتری نقره در کارهای تحقیقاتی مورد توجه جدی واقع شده اند. این خواص در بسیاری از کاربردهای زیستی، نساجی، مهندسی مواد و غیره در سطح وسیعی مورد توجه قرار گرفته اند (۲۰).

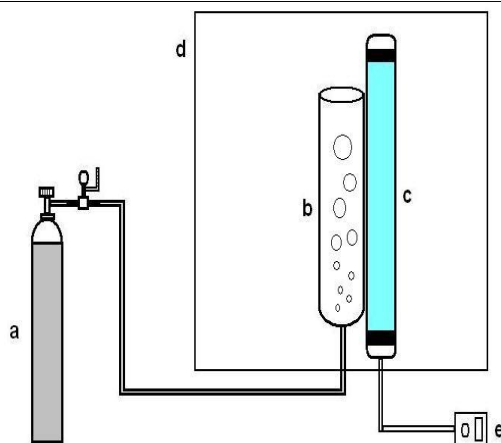
در این تحقیق نانوکامپوزیت $Ag-ZnO/SnO_2$ به روش هم رسوبی و تلقیح مایع تهیه شده و تست فعالیت فوتوكاتالیزوری نانوکامپوزیت سترنگر شده تحت تابش نور مرئی در حذف یک آلاینده محیط زیست مورد بررسی قرار گرفته است.

بخش تجربی

- مواد مورد استفاده

روی سولفات هفت آبه، قلع کلرید پنج آبه، سدیم هیدروکسید، نقره نیترات و اسید قمز (AR27) (۱۲۷) از شرکت مرک (Merck) تهیه شده است. AR27 به عنوان رنگ در صنایع نساجی و رنگرزی به کار می رود و ساختار آن در شکل (۲) ارایه شده است.

¹ C.I. Acid Red 27



شکل (۳): شماتی فوتوراکتور مورد استفاده و اجزای آن

جهت بررسی فعالیت فوتوكاتالیزوری نانوذرات سنتزی، ۴۰ mg از فوتوكاتالیزور تهیه شده را وزن کرده و در داخل یک بالن ۱۰۰ mL ریخته و سپس ۵۰ mL به آن آب مقطر اضافه شد. بالن مربوطه را به مدت ۱۵ min تحت امواج التراسونیک قرار داده و ۱۰ mL از محلول مادر AR27 به غلظت mg L⁻¹ ۲۰۰ در داخل بالن ریخته و به حجم رسانده شد. بدین ترتیب سوسبانسیون مورد آزمایش محتوی mg L⁻¹ ۲۰۰ از AR27 به همراه mg L⁻¹ ۴۰۰ از فوتوكاتالیزور خواهد بود. غلظت‌های فوق در تمام آزمایش‌ها ثابت نگه داشته شد. سوسبانسیون تهیه شده در مرحله قبل را وارد فوتوراکتور نموده و به مدت ۳۰ min محلول سوسبانسیون توسط گاز اکسیژن در تاریکی هم زده شد تا تعادل جذب - واجدب برقرار گردد. دبی اکسیژن ورودی به سیستم راکتور در حدود 8 mL min^{-1} تنظیم شد. سپس سوسبانسیون را در برابر اشعه نورمرئی قرار داده و در فواصل زمانی مشخص نمونه برداری گردید و پس از جداسازی نانوذرات کاتالیزور توسط سانتریفیوژ

در نهایت ماده حاصله در داخل کروزه ریخته شده و در کوره در دمای ۴۰۰°C گلسانیه شد.

در ادامه برای سنتز نانوکامپوزیت Ag-ZnO/SnO₂ به روش تلقیح مایع، محلول نیترات نقره با غلظت‌های مختلف به پودر نانوکامپوزیت ZnO/SnO₂ تهیه شده در مرحله قبل افزوده شد و به مدت یک ساعت توسط همزن مغناطیسی هم زده شد. محلول حاصله در دمای ۸۰°C و به مدت ۱۰ ساعت در آون قرار داده و در آخر ماده بدست آمده در کوره در دماهای مورد نظر گلسانیه شد. برای بررسی ساختار و مشخصه‌یابی نانوکاتالیزورهای سنتز شده از تکنیک‌های SEM-EDX و XRD استفاده شده است.

- شرح ساختار فوتوراکتور و روش بررسی فعالیت نوری کاتالیزور در حذف آلاینده
بررسی فعالیت نوری کاتالیزور سنتز شده در حذف AR27 در یک سیستم فوتوراکتور ناپیوسته صورت گرفته است.

این سیستم که در شکل (۳) نشان داده شده است، شامل قسمت‌های عمدۀ زیر است:

- ۱- کپسول اکسیژن و مانومتر مخصوص اندازه‌گیری فشار گاز اکسیژن (a)
- ۲- لوله کوارتزی (b)
- ۳- لامپ مرئی با توان ۵۰۰ وات (c)
- ۴- محفظه چوبی (d)
- ۵- منبع تغذیه الکتریکی (e)

الکترون - حفره کاهش می‌یابد. بنابراین در $-Ag/ZnO/SnO_2$ انتقال الکترون مؤثرتری مابین گونه‌های الکتروندهنده و الکترون‌گیرنده جذب سطحی شده و کاتالیزور در مقایسه با ZnO/SnO_2 خالص رخ می‌دهد (۲۱).

از طرف دیگر نتایج شکل (۴) نشان می‌دهد که نانوکامپوزیت $Ag-ZnO/SnO_2$ سنتز شده در دمای کلسیناسیون $500^{\circ}C$ بیشترین فعالیت را از خود نشان می‌دهد. درصد حذف AR27 تحت تابش نور مرئی به مدت ۵۰ دقیقه، ۸۹٪ است. همانطوریکه در شکل (۴) مشخص است فعالیت فوتوكاتالیزوری $-Ag/ZnO/SnO_2$ حاوی $wt.\% \frac{2}{3}$ نقره با افزایش دمای کلسیناسیون از $400^{\circ}C$ به $500^{\circ}C$ ، افزایش نشان داده و در ادامه با افزایش دمای کلسیناسیون به $600^{\circ}C$ فعالیت نوری آن کاهش یافته است. احتمالاً تشکیل فازهای اکسیدی از فلز نقره بارگذاری شده در دماهای کلسیناسیون بالا در سطح فوتوكاتالیزور دلیلی بر کاهش فعالیت آن می‌باشد. همچنین فعالیت فوتوكاتالیزوری نانوذرات ارتباط آشکاری با مساحت سطح ویژه آن‌ها دارد افزایش دمای بیش از حد باعث کاهش سطح ویژه می‌شود که منجر به کاهش فعالیت نوری کاتالیزور می‌گردد. بنابراین یکی از دلایل کاهش فعالیت نوری نانوذرات با افزایش دما می‌تواند کاهش سطح ویژه آن‌ها در نتیجه بزرگ‌تر شدن اندازه ذرات باشد (۹).

غاظت AR27 با استفاده از جذب نمونه در طول موج ۵۲۲ nm که طول موج حداکثری این آلینده می‌باشد، و همچنین منحنی کالیبراسیون رسم شده، بدست آمد. از روی غاظت باقیمانده میزان درصد حذف AR27 محاسبه و گزارش گردید.

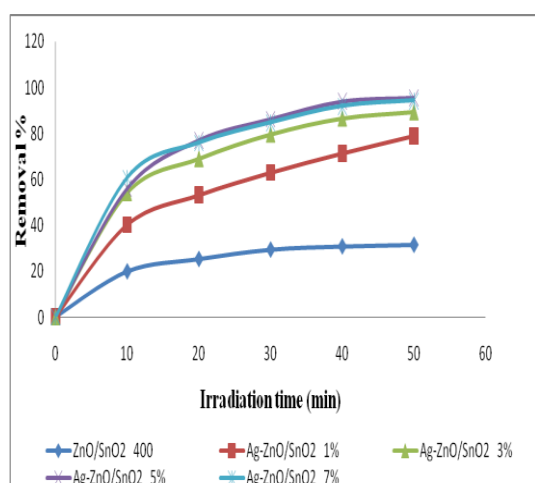
نتایج و بحث

- بررسی فعالیت نوری نانوکاتالیزورهای سنتز شده در حذف آلینده مدل (AR27)

در قدم اول به منظور تعیین دمای کلسیناسیون مطلوب در فعالیت نوری کاتالیزور، نقره به روش تلقیح مایع و با مقدار $Wt.\% \frac{3}{3}$ بر روی ZnO/SnO_2 بارگذاری شده و به مدت ۲ ساعت در دماهای $400^{\circ}C$ و $500^{\circ}C$ کلسینه شده است. نتایج فعالیت نوری کاتالیزورها در حذف AR27 در شکل (۴) گزارش شده است. بررسی اولیه نمودار نشان می‌دهد که فعالیت نوری ZnO/SnO_2 بارگذاری شده با نقره نسبت به ZnO/SnO_2 خالص (هر دو کلسینه شده در دمای یکسان) به مراتب بیشتر است. تاثیر مثبت نقره بارگذاری شده در فعالیت نوری ZnO/SnO_2 قدرت نقره در به تله انداختن الکترون‌ها نسبت داده می‌شود. همانطوریکه می‌دانیم فوتوكاتالیزور ZnO/SnO_2 تحت تابش نور تولید جفت الکترون - حفره می‌نماید، ترکیب مجدد جفت الکترون - حفره، سرعت فرآیند تخریب فوتوكاتالیزوری را کاهش می‌دهد. تاثیر مثبت نقره بر فعالیت ZnO/SnO_2 تخریب AR27 به صورت قدرت نقره برای به تله انداختن الکترون‌ها مورد بحث قرار می‌گیرد. در ZnO/SnO_2 بارگذاری شده با نقره ترکیب مجدد

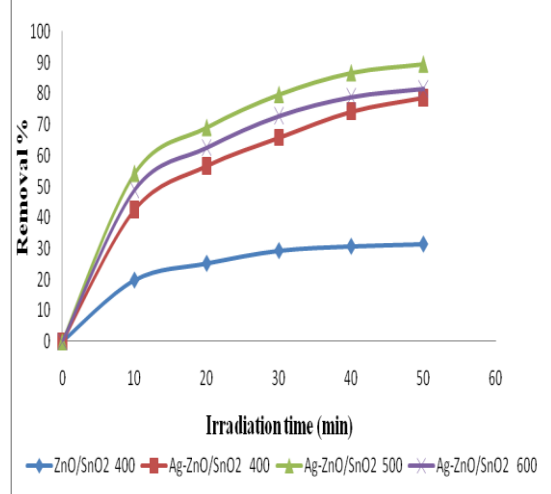
در نتیجه میزان تولید الکترون - حفره کاهش یافته و فعالیت نوری کاتالیزور کاهش می‌یابد (۲۲). - ترسیب فلز ممکن است مکان‌های فعال موجود در سطح کاتالیزور را که برای واکنش‌های فتوکاتالیزوری مطلوب می‌باشند اشغال نموده و باعث کاهش فعالیت کاتالیزور شود.

- موقعیت‌های بارگذاری شده با نقره که حاوی بار منفی شده‌اند می‌توانند حفره‌ها را مجدداً جذب نموده و آن‌ها را با الکترون‌ها ترکیب مجدد نمایند در چنین موقعی موقعت‌های فلزدار خود به عنوان مرکز ترکیب مجدد عمل می‌نمایند (۲۱).



شکل (۵): تاثیر درصد وزنی نقره در فعالیت نوری نانو فوتوكاتالیزورهای $Ag-ZnO/SnO_2$ کلسینیه شده در دمای $500^{\circ}C$ در حذف AR27

- مشخصه‌یابی نانوکاتالیزورهای سنتز شده $Ag-ZnO/SnO_2$ طیف XRD نانوکامپوزیت $Ag-ZnO/SnO_2$ سنتز شده در دمای کلسیناسیون $500^{\circ}C$ در شکل (۶) نشان داده شده است. در طیف XRD پیک‌های واقع در 2θ های $31/5$, $34/4$, $36/4$, $47/5$, $56/5$, $62/8$, $67/8$ و 69 مربوط به نانوذرات ZnO و پیک‌های



شکل (۴): تاثیر دمای کلسیناسیون در فعالیت نوری نانو فوتوكاتالیزورهای ZnO/SnO_2 بارگذاری شده با 3% وزنی نقره به روش تلچیح مایع در حذف AR27

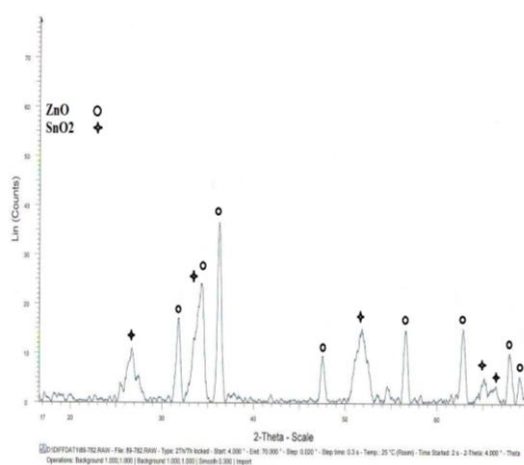
در ادامه به منظور تعیین درصد مطلوب نقره در فعالیت نوری کاتالیزور، نقره به روش تلچیح مایع و با مقدار درصدهای 1 , 3 , 5 و 7% . wt. بر روی ZnO/SnO_2 دمای $500^{\circ}C$ کلسینیه شده است. نتایج فعالیت نوری کاتالیزورها در حذف AR27 در شکل (۵) گزارش شده است. نتایج نشان می‌دهد که نانوکامپوزیت حاوی 5% . wt. نقره بیشترین فعالیت را از خود نشان می‌دهد بطوری که درصد حذف AR27 تحت تابش نور مرئی به مدت 50 دقیقه در حدود 95% می‌باشد. تاثیر مثبت نقره در افزایش فعالیت نوری در بخش قبلی توضیح داده شده است. دلیل کاهش فعالیت در مقادیر بیشتر نقره نیز می‌تواند ناشی از موارد زیر باشد:

- پوشش بیش از حد سطح ZnO/SnO_2 باعث کاهش رسیدن میزان نور به سطح فوتوكاتالیزور شده

شده در دمای $400^\circ C$ از مورفولوژی صفحه مانند^۱ برخوردار هستند تولید نانوصفحات ZnO/SnO_2 همچنین توسط وانگ و همکارانش در سال ۲۰۰۷ به روش هیدرترمال در دمای $200^\circ C$ گزارش شده است. در مقایسه‌ای که این محققین بر روی فعالیت فوتوكاتالیزوری انواع مورفولوژی‌های نانوذرات ZnO/SnO_2 خالص انجام دادند نشان دادند که بیشترین فعالیت فوتوكاتالیزوری مربوط به نانوذرات ZnO/SnO_2 با مورفولوژی صفحه مانند می‌باشد. آنها فعالیت بالای نانوذرات ZnO/SnO_2 با مورفولوژی صفحه مانند را به توانایی بالای نانوصفحات در انتقال الکترون و حفرات تولید شده در داخل کریستال به سطح نسبت دادند (۲۴). در شکل (۷-ب) تصویر SEM نانوذرات ZnO/SnO_2 بارگذاری شده با نقره نشان داده شده است. همانطوریکه از تصاویر مشخص است عمل بارگذاری نقره که همراه با افزایش دما همراه بوده سبب از بین رفتن مورفولوژی صفحه مانند شده است. در این حالت ذرات شکل منظمی نداشته و دمای کلسیناسیون بالا سبب آگلومره شدن ذرات شده است.

به منظور آنالیز عنصری فوتوكاتالیزورهای EDX ترکیبی از تکنیک EDX استفاده می‌شود. طیف EDX برای نمونه $Ag-ZnO/SnO_2$ حاوی ۵ درصد نقره و کلسینه شده در دمای $500^\circ C$ در شکل (۸) نشان داده شده است. در طیف EDX پیک‌های مربوط به Sn و Zn حضور این عناصر را در فوتوكاتالیزور مورد نظر تایید می‌کند. همچنین حضور عنصر Ag نیز در این طیف به وضوح نشان داده شده است. آنالیز EDX

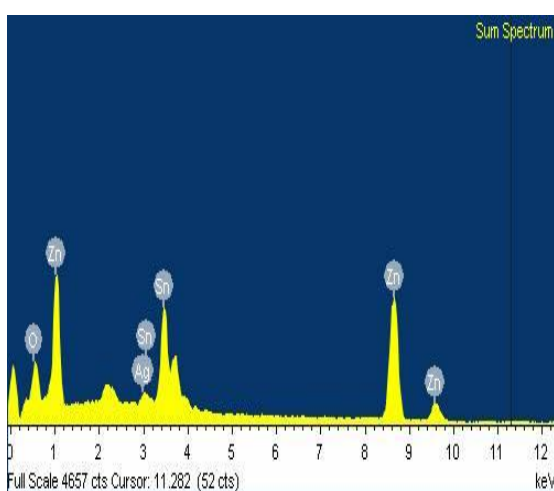
واقع در 2θ های $26/5$, $33/5$, 52 , $64/8$ و $65/2$ مربوط به نانوذرات SnO_2 می‌باشد. در طیف XRD پهنای پیک انعکاس دهنده اندازه کریستالی ذرات و شدت پیک انعکاس دهنده کریستالیت نمونه‌ها است (۲۳). در طیف XRD $Ag-ZnO/SnO_2$ نانوکامپوزیت SnO_2 پیکی مربوط به نقره ظاهر نشده است. دلیل این مسئله توزیع یکنواخت نقره بر روی سطح کاتالیزور، قرار گرفتن آن در سطح و عدم نفوذ آن به درون شبکه ZnO/SnO_2 می‌باشد. اندازه کریستالی ذرات با استفاده از فرمول دبای-شرر برای ZnO و SnO_2 به ترتیب 17 و 8 نانومتر محاسبه شده است.



شکل (۶): طیف XRD نانوکامپوزیت $Ag-ZnO/SnO_2$ حاوی ۵ درصد نقره و کلسینه شده در دمای $500^\circ C$

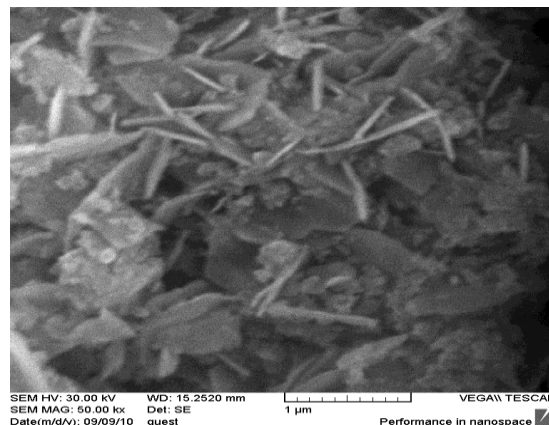
مورفولوژی نانوذرات ZnO/SnO_2 خالص و بارگذاری شده با نقره بوسیله میکروسکوپ الکترونی رویشی (SEM) مورد بررسی قرار گرفته است. در شکل (۷-الف) تصویر SEM نانوذرات ZnO/SnO_2 خالص نشان داده شده است. همانطوریکه در تصویر مشخص است نانوذرات ZnO/SnO_2 خالص کلسینه

¹ Sheetlike

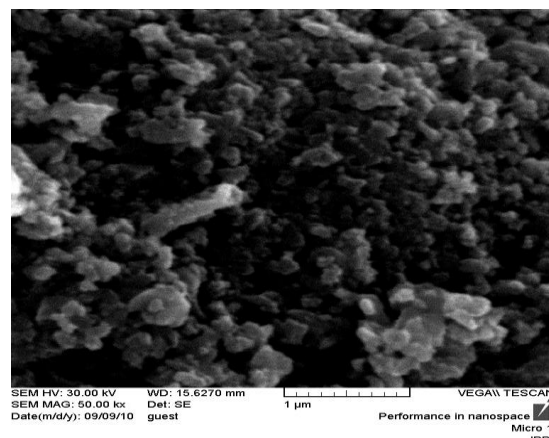


شکل (۸): طیف EDX نانوکامپوزیت $Ag\text{-}ZnO/SnO_2$ حاوی ۵ درصد نقره و کلسینه شده در دمای 500°C

نمونه بارگذاری شده با ۵٪ از Ag مقدار ۴٪ از Ag را نشان می‌دهد اختلاف مقادیر آنالیز شده و مقادیر استفاده شده در سنتزها می‌تواند ناشی از عوامل مختلفی باشد به عنوان مثال به دلیل ضخامت بالای نمونه در SEM، پرتو الکترونی در قسمت وسیعی از ناحیه مورد نظر نفوذ کرده و مقدار متوسطی را می‌دهد که برای آنالیز ساختارهای ریز چندان مناسب نمی‌باشد.



(الف)



(ب)

شکل (۷): تصویر SEM نانوکامپوزیت ZnO/SnO_2 خالص کلسینه شده در دمای 400°C (الف)، تصویر SEM نانوکامپوزیت $Ag\text{-}ZnO/SnO_2$ حاوی ۵ درصد نقره و کلسینه شده در دمای 500°C (ب)

photocatalysis, Journal of Nanoparticle Research, 1, 439.

[9] Wang, C., Wang, X., Xu, B.Q., Zhao, J., Mai, B., Peng, P., Sheng, G., Fu, J., 2004, Enhanced photocatalytic performance of nanosized coupled ZnO/SnO_2 photocatalysts for methyl orange degradation, Journal of Photochemistry and Photobiology A: Chemistry, 168, 47.

[10] Li, Y., Feng, Y., Bai, H., Liu, J., Hu, D., Fan, J., Shen, H., 2023, Enhanced visible-light photocatalytic performance of black TiO_2/SnO_2 nanoparticles, Journal of Alloys and Compounds, 960, 170672.

[11] Du, Q., Lin, Y., Cheng, S., Wei, D., Wang, Y., Zhou, Y., 2024, In situ synthesis of three-dimensional flower-like TiO_2/WO_3 heterojunction: Enhanced visible photocatalytic properties and theoretical calculations, Ceramics International, 50, 30605.

[12] Yang, W., Bu, Q., 2024, Microsphere structure enhances the photocatalytic performance of TiO_2 -CdS heterojunction, Materials Letters, 367, 136619.

[13] Qiu, T., Chen, G., 2024, Degradation of naphthalene and anthracene using the CdS/ZnO with enhanced photocatalytic activities, Environmental Technology & Innovation, 36, 103741.

[14] Chankhaniththa, T., Watcharakitti, J., Piyavarakorn, V., Johnson, B., Bushby, R.J., Chuaicham, C., Sasaki, K., Nijpanich, S., Nakajima, H., Chanlek, N., Nanan, S., 2023, ZnO/ZnS photocatalyst from thermal treatment of ZnS: Influence of calcination temperature on development of heterojunction structure and photocatalytic performance, Journal of Physics and Chemistry of Solids, 179, 111393.

[15] Aguirre-Cortés, J.M., Munguía-Ubierna, Á., Moral-Rodríguez, A., Pérez-Cadenas, A.F., Carrasco-Marín, F., Bailón-García, E., 2024, Size-miniaturization of TiO_2 - ZrO_2 coupled semiconductors to develop highly efficient visible- driven photocatalysts for the degradation of drugs in wastewater, Applied Surface Science, 670, 160609.

[16] Suliman, Z.A., Mecha, A.C., Mwasiagi, J.I., 2024, Effect of TiO_2/Fe_2O_3 nanopowder synthesis method on visible light

تعارض منافع

نویسنده هیچ گونه تعارض منافعی برای اعلام ندارد.

منابع

- [1] Daneshvar, N., Salari, D., Khataee, A.R., 2003, Photocatalytic degradation of azo dye Acid Red 14 in water: Investigation of the effect of operational parameters, Journal of Photochemistry and Photobiology A: Chemistry, 157, 111.
- [2] Daneshvar, N., Rabbani, M., Modirshahla, N., Behnajady, M.A., 2004, Kinetic modeling of photocatalytic degradation of Acid Red 27 in UV/ TiO_2 process, Journal of Photochemistry and Photobiology A: Chemistry, 168, 39.
- [3] Daneshvar, N., Salari, D., Khataee, A.R., 2004, Photocatalytic degradation of azo dye Acid Red 14 in water on ZnO as an alternative catalyst to TiO_2 , Journal of Photochemistry and Photobiology A: Chemistry, 162, 317.
- [4] Daneshvar, N., Salari, D., Niaezi, A., Rasoulifard, M.H. and Khataee, A.R., 2005, Immobilization of TiO_2 nanopowder on glass beads for the photocatalytic decolorization of an azo dye C.I. Direct Red 23, Journal of Environmental Science and Health. Part A, Toxic/Hazardous Substances & Environmental Engineering, 40, 1605.
- [5] Daneshvar, N., Rasoulifard, M.H., Khataee, A.R., Hosseinzadeh, F., 2007, Removal of C.I. Acid Orange 7 from aqueous solution by UV irradiation in the presence of ZnO nanopowder, Journal of Hazardous Materials, 143, 95.
- [6] Obare, S.O., Meyer, G.J., 2004, Nanostructured materials for environmental remediation of organic contaminants in water, Journal of Environmental Science and Health. Part A, Toxic/Hazardous Substances & Environmental Engineering, 39, 2549.
- [7] Peng, F., Zhu, H., Wang, H., Yu, H., 2007, Preparation of Ag-sensitized ZnO and its photocatalytic performance under simulated solar light, Korean Journal of Chemical Engineering, 24, 1022.
- [8] Beydoun, D., Amal, R., Low, G., McEvoy, S., 1999, Role of nanoparticles in

photocatalytic degradation of reactive blue dye, *Heliyon*, 10, e29648.

[17] Zhang, M., An, T., Hu, X., Wang, C., Sheng, G., Fu, J., 2004, Preparation and photocatalytic properties of a nanometer $ZnO-SnO_2$ coupled oxide, *Applied Catalysis A: General*, 260, 215.

[18] Sant, P.A., Kamat, P.V., 2002, Interparticle electron transfer between size-quantized CdS and TiO_2 semiconductor nanoclusters, *Physical Chemistry Chemical Physics*, 4, 198.

[19] Kuo, C.Y., Lin, H.Y., 2004, Effect of coupled semiconductor system treating aqueous 4-nitrophenol, *Journal of Environmental Science and Health. Part A, Toxic/Hazardous Substances & Environmental Engineering*, 39, 2113.

[20] Gouvea, C.A.K., Wypych, F., Moraes, S.G., Duran, N., Peralta-Zamora, P., 2000, Semiconductor-assisted photodegradation of lignin, dye and kraft effluent by Ag-doped ZnO , *Chemosphere*, 40, 427.

[21] Coleman, H.M., Chiang, K., Amal, R., 2005, Effects of Ag and Pt on photocatalytic degradation of endocrine disrupting chemicals in water, *Chemical Engineering Journal*, 113, 65.

[22] Carp, O., Huisman, C.L., Reller, A., 2004, Photoinduced reactivity of titanium dioxide, *Progress in Solid State Chemistry*, 32, 33.

[23] Kontapakdee, K., Panpranot, J., Praserthdam, P., 2007, Effect of Ag addition on the properties of Pd-Ag/ TiO_2 catalysts containing different TiO_2 crystalline phases, *Catalysis Communications*, 8, 2166.

[24] Wang, W.W., Zhu, Y.J., Yang, L.X., 2007, $ZnO-SnO_2$ hollow spheres and hierarchical nanosheets: Hydrothermal preparation, formation mechanism, and photocatalytic properties, *Advanced Functional Materials*, 17, 59.

“Research article”

Synthesis of ZnO/SnO₂ nanocomposite loaded with silver via liquid impregnation method and investigation of its photocatalytic activity in removing an environmental pollutant under visible light irradiation

Leila Airemlou*

Department of Chemistry, Arak Branch, Islamic Azad University, Arak, Iran

*Corresponding author: leilaayramlo@yahoo.com

(Received: 12 August 2024, Accepted: 27 August 2024)

Abstract

In this research, ZnO/SnO₂ nanocomposite was first synthesized using the co-precipitation method, followed by the loading of silver at different percentages onto the nanocomposite via the liquid impregnation method. The photocatalytic activity of the synthesized materials in the removal of a dye pollutant (C.I. Acid Red 27) was evaluated under visible light. Material characterization was conducted using XRD and SEM-EDX methods. Through these analyses, the particle size, constituent phases, and morphology of the particles were determined. The photocatalytic activity results showed that the Ag-ZnO/SnO₂ nanocomposite exhibited higher activity than the ZnO/SnO₂ nanocomposite in pollutant removal. The highest photocatalytic activity was observed in the Ag-ZnO/SnO₂ nanocomposite with 5% wt. silver and a calcination temperature of 500°C, achieving a 95% removal of Acid Red 27 after 50 min of irradiation.

Conflict of interest: None declared.

Keywords: ZnO/SnO₂, Ag-ZnO/SnO₂, Co-precipitation, Liquid impregnation, Photocatalytic activity, C.I. Acid Red 27